

氣流過山之線性解

第一部份：非地轉系統之初步研究

申博文

空軍氣象中心

摘要

以線性理論來研究地形對大氣運動的影響，若考慮 f -plane、均勻風場，大氣無黏滯性且均勻成層分佈，經由布氏近似 (Boussinesq Approximation)，當流體通過一三維地形時，吾人可以求得各物理擾動量的封閉解 (closed form solution)，利用FFT技巧可以知道 (i) $a \sim 0.1\text{km}$ 時， u', v' 為一偶流 (doublet)，(ii) $a \sim 10\text{km}$ 時， u', v' 為一源流 (point source)，(iii) $a \sim 700\text{km}$ 時， u', v' 為一渦旋流 (point vortex)。(a 為地形水平尺度， u', v' 為風場擾動量)。而 (iv) $a \sim 100\text{km}$ 時， u', v' 分佈情形和上述三種情況不同，在山後下游處，分別形成一負、正的曲率中心。其中 (iv) 項，其羅士貝數 (Rossby number) 接近 1，為目前線性理論所欠缺的部份。

一、前言

地形使得大氣運動更加多姿多采！而有關氣流受地形作用的影響，亦提供科學研究人員一個相當有趣，並富挑戰性的課題。大氣受地形作用而引發的現象有許多種如山岳波 (mountain wind)、下坡風 (downslope wind)、焚風、逆流效應 (upstream influence, Pierrehumbert & Wyon (1985))、背風渦旋 (lee vortex, Smolarkiewicz & Routunno (1989))，以及背風旋生 (lee cyclogenesis, Smith (1984) Lin (1989)) 等。舉凡自小尺度地形的位勢流 (potential flow, Drazin (1961) 到大尺度準地轉系統 (quasi-geostrophic system, Buzzi & Tibaldi (1977), Smith (1979))，均是歷年來學者研究的對象，至於研究方法，則有理論、實驗、觀測及數值模擬等。

地形的水平尺度 (a) 和垂直高度 (h_0) 及基本風場 (U)，對於氣流過山所產生的現象扮演著重

要的角色，而因浮力、科氏力作用的關係，使大氣系統本身即存在一些自然尺度如 $\frac{U}{Nf}$ ，二者分別代表在浮力、科氏力的作用下，流體所經過的距離。若將這些自然尺度與地形水平尺度或垂直高度比較，則可估計氣流通過地形時，受浮力或科氏力影響的程度，因此大氣系統有下列三個控制參數， $\frac{U}{aN}$ 、 $\frac{U}{af}$ 、 $\frac{U}{Nh_0}$ (後二者分別稱為羅斯貝數 R_0 (Rossby number)，及佛勞數 F_r (Froude number))。

有關不同佛勞數對氣流過山的影響，已有許多學者研究過，如Shep-pard (1956)、Smith (1979)。在 $F_r \ll 1$ 的情形有Drazin (1961) 的位勢理論 (potential flow theory)，而當 $F_r \gg 1$ 則適用Smith (1980) 的線性理論 (並未加入科氏力)，至於當 $0.1 < F_r < 0.5$ 的情況則因Smolarkiewicz & Routunno (1989) (此後簡稱SR (1989)) 的研究，而吸引大批學者從事相關問題的討論，如Smith (1989)，Lin (1991)。

關於氣流過山的研究，早期為了簡化問題，只考慮二維 (X-Z 平面) 的情況，即將地形視為 Y 方向無限延伸，其中 Queney (1948)、Sawyer (1960)、Eliassen & Palm (1960) 和 Miles (1969) 對後來的研究發展影響最大。Queney 利用線性化方程式組，在考慮 β -面，均勻風場，大氣為絕熱而且穩定成層的條件下，當氣流通過一個二維鐘形地形時，其結果顯示不同的半山寬會有三種不同的背風波動 (lee waves)。

早期有關地形對大氣的影響，屬 Smith (1979) 整理的最為詳盡，其涵蓋了理論、數值模擬、觀測資料的分析等方法，而有關小尺度浮力的影響，邊界層效應，中尺度背風旋生，地形降雨，及行星尺度的山波都有加以探討，但有關三維地形的研究則似乎仍嫌不足。Buzzi & Tibaldi (1977)，則是考慮均勻風場經過三維地形的運動情形，假設靜力平衡，f-平面，大氣為穩定均勻成層及布氏近似 (Boussinesq Approximation)，並利用 R_0 為小參數，將物理擾動量用 R_0 做冪級數展開求解。

而關於三維地形的研究，以 Smith (1980) 的線性理論最為知名，其假設和 Buzzi & Tibaldi (1977) 相似，只是沒有科氏力。利用複變積分求得地面壓力場、風場的解析解，並利用 FFT (Fast Fourier Transform) 和漸近解 (asymptotic solution)，去研究 η (密度面垂直位移) 的變化情形。科氏力對於中小尺度地形的影響，可參考 Smith (1982)，此研究延續 Smith (1980)，只是多加了科氏力項。利用 R_0^{-1} 當作小參數，並將各擾動量做冪級數展開求解。Phillips (1984) 亦延續 Smith (1980) 的研究，其考慮棋部面為橢圓及不同斜率的鐘形地形。

有關 R_0 趨近於 1 時求理論解的研究並不多見，Thorsteinsson (1988) 是利用數值模擬探討這方面的問題。他利用一個三維非線性模式，垂直方面採 θ 坐標，並且假設在 f-平面上，大氣為絕熱，靜力平衡，穩定成層的情況。當流場接近

恆穩狀態 (steady state) 時，流場型態由三個參數 (S, R, H)， $S \equiv (\frac{N U}{g})^2$ ， $R_0 \equiv \frac{U}{a f}$ ， $H_0 \equiv F_0^{-1}$ 所決定。

而作者 (申 (1992)) 的研究，則將原始方程式線化，並利用 FFT (Faster Fourier Transform) 求取通過三維地形的數值解。除得到和已有的線性理論一致的結果外，且進一步補足了線性理論在 R_0 接近 1 時所欠缺的部份。另外作者亦指出 Queney (1948)，Buzzy & Tibaldi (1977) 所做的結果可能有誤。因限於篇幅，詳細討論請見申 (1992)。

—— 控制方程式 ——

將方程式線性化，並做布氏近似 (Boussinesq approximation)，基本風場為西風且為常數，消掉 ρ' ， ω' 後方程式組變成：

$$(\Delta^2 \nabla_3^2 + N^2 \nabla^2 + f^2) \frac{\partial}{\partial z^2} (\frac{\partial}{\partial t} + U \frac{\partial}{\partial x}) \eta = 0$$
 (1)

$$(\Delta^2 + f^2) \frac{u'}{\partial z} = (\Delta^2 + N^2) (\frac{\partial}{\partial t} + U \frac{\partial}{\partial x}) \eta_x + f (\Delta_2 + N^2) \eta_y$$
 (2)

$$(\Delta^2 + f^2) \frac{v'}{\partial z} = (\Delta^2 + N^2) (\frac{\partial}{\partial t} + U \frac{\partial}{\partial x}) \eta_y - f (\Delta_2 + N^2) \eta_x$$
 (3)

$$\frac{-1}{\rho} \frac{\partial p'}{\partial z} = (\Delta^2 + N^2) \eta$$
 (4)

式中 u', v' 分別為 X, Y 方向的速度擾動量， p' 為壓力擾動量， ρ 為密度， η 為密度面的垂直位移，下標之 X, Y, Z 分別代表對 X, Y, Z 的微分， C 為聲速， f 為科氏參數， g 為重力加速度。而且除了 $\Delta^2 \frac{\partial}{\partial z}$ 和 $\Delta^2 \frac{\partial^2}{\partial z^2}$ 之外， Δ^2 代表非靜力項，各運算子定義如下：

$$\Delta^2 = \frac{\partial^2}{\partial t^2} + 2U \frac{\partial^2}{\partial t \partial x} + U^2 \frac{\partial^2}{\partial x^2}$$
 (5)
$$\nabla_3^2 = \frac{\partial^2}{\partial X^2} + \frac{\partial^2}{\partial Y^2} + \frac{\partial^2}{\partial Z^2}$$
 (6)

$$\Delta^2 = \frac{\partial^2}{\partial X^2} + \frac{\partial^2}{\partial Y^2}$$
 (7)

$$N^2 = \frac{-g}{\rho_0} \frac{d\rho}{dz} \quad (\text{浮揚頻率})$$
 (8)

由上我們知道，方程組可以簡化成一個應變數 η 的偏微分方程式 Eq (1)，而其他物理量 u', v', p' ，可以表成 η 的函數 Eq (2), (3), (4)。

地形 (下邊界) 為：

$$H(x, y) = \frac{h_0}{(\frac{x_1^2}{a^2 x^2} + \frac{y_1^2}{a^2} + 1)^2}$$
 (9)

$$x_1 = x \cdot \cos(\theta) - y \cdot \sin(\theta)$$
 (10)
$$y_1 = x \cdot \sin(\theta) + y \cdot \cos(\theta)$$
 (11)

1. a : 地形水平尺度
2. X : 當地地形水平剖面為橢圓時，短軸與長軸的比值
3. θ : 若 $X < 1$ ，則地形水平剖面為橢圓，且長軸在 y 方向
4. h₀ : 當地地形水平剖面為橢圓時，長軸與 y 軸的夾角，順時鐘為正
5. h₀ : 山頂高度

考慮恆穩解 (steady solution $t = 0$) 利用二維傅立葉轉換 (Fourier Transform)，將上述方程式由真實空間 (x, y)，轉換到波數空間 (k, l) 求解，然後再利用逆傅立葉轉換 (Inverse Fourier Transform)，得到真實空間的解。

$$g = \iint g e^{-2\pi i (kx+ly)} dx dy$$
 (12)

$$g = \iint g e^{2\pi i (kx+ly)} dk dl$$
 (13)

其中 g 為任意物理量 (η, u', v', p')，而 g 代表 g 之傅立葉轉換，若將方程式組做傅立葉轉換，並進一步討論不同尺度的地形所產生的影響，我們可以將水平方向做尺度轉換

$$x = a x', \quad y = a y'$$
 (14)

$$k = \frac{k'}{a}, \quad l = \frac{l'}{a}$$
 (15)

則

$$u' = \iint dk' al' e^{2\pi i (k'x'+l'y')} \hat{u}_0$$
 (16)
$$F_{x',y'}(h) \hat{\tau}_s$$

$$v' = \iint dk' al' e^{2\pi i (k'x'+l'y')} \hat{v}_0$$
 (17)
$$F_{x',y'}(h) \hat{\tau}_s$$

$$p' = -\rho \iint dk' dl' e^{2\pi i (k'x'+l'y')} \hat{p}_0$$
 (18)
$$\hat{p}_0 F_{x',y'}(h) \hat{\tau}_s$$

$$m^2 = 4\pi^2 (k'^2 + l'^2) \frac{N^2 - \frac{4\pi^2 k'^2 U^2}{a}}{4\pi^2 k'^2 U^2 - a^2 f^2}$$
 (19)

$$\hat{u}_0 = (4\pi^2 k'^2 U - i2\pi dl' f) \left(\frac{N^2 - \frac{4\pi^2 k'^2 U^2}{a}}{4\pi^2 k'^2 U^2 - a^2 f^2} \right)$$
 (20)

$$\hat{u}_0 = (4\pi^2 k' l' U + i2\pi ak' f) \left(\frac{N^2 - \frac{4\pi^2 k'^2 U^2}{a}}{4\pi^2 k'^2 U^2 - a^2 f^2} \right)$$
 (21)

$$\hat{p}_0 = (N^2 - \frac{4\pi^2 k'^2 U^2}{a}) \iint h(ax', ay') e^{-2\pi i (k'x'+l'y')} dx' dy'$$
 (22)

$$F_{x',y'}(h) = \iint h(ax', ay') e^{-2\pi i (k'x'+l'y')} dx' dy'$$
 (23)

而 τ_s 由以下式子所定義：

$$\hat{\tau}_s = \frac{-1}{M} e^{-Mz}, \quad M = -m^2 \text{ 當 } \frac{aN}{2\pi U} < |k|$$
 (24)

或 $|k| < \frac{af}{2\pi U}$,

$$\hat{\tau}_s = \frac{-i}{M} e^{inz}, \quad \text{當 } \frac{af}{2\pi U} < |k| < \frac{aN}{2\pi U}$$
 (25)

以下為方便起見，我們用 (x, y) 代替 (x', y')，用 (k, l) 代替 (k', l')。在 Eq (16) - (18) 中，我們得計算逆傅立葉轉換 (Inverse Fourier transform)，但假若被積函數為 banded-limit，即被積函數只有在某一個區域內有值，則 CIFT (Continuous Inverse Fourier Transform)，可用 DIFT (Discrete Inverse Fourier transform) 近似 [註 4]，進一步可用 IFFT (Inverse Fast Fourier

Transform) 去計算, 因為鐘形地形的傅立葉轉換為 $e^{-2\pi \times k^2 \cdot l^2}$, 當 $l = 0$, $k = 1.1$ 其數量級大小為 $0 (10^{-3})$, 因此若我們選取 $|K| > 1$, 則被積函數滿足 Banded-limit。

[註4]: 見 Weaver (1983)

考慮:

水平計算範圍 $X: -24 \sim 24$

$Y: -24 \sim 24$

X 方向取樣點數 $M = 128$

Y 方向取樣點數 $N = 128$

水平輸出範圍 $x: -6 \sim 6$

$Y: -6 \sim 6$

注意水平單位為地形尺度 (a), $\delta x = \frac{48}{M}$

, $\delta y = \frac{48}{N}$, 而為滿足取樣定理 (Sampling

theorem) [註5], 取 $\delta k = \frac{1}{M} \times \frac{1}{\delta x}$, $\delta l = \frac{1}{N} \times \frac{1}{\delta y}$

則波數 k 方向計算區域為 $[-k_c, k_c]$, 波數 l 方向計算區域 $[-l_c, l_c]$, $k_c = \frac{M}{2} \times$

$\delta k = \frac{4}{3}$, $l_c = \frac{N}{2} \times \delta l = \frac{4}{3}$ 。

——數值結果——

由 Eq (24)、Eq (25), 我們知道 M^2 的正負號, 可以決定流場量在垂直方向的運動型態。而 M^2 的正負號, 又是由 k (無因次化波數) 和兩個參數 ($\frac{U}{af}$, $\frac{U}{aN}$, 或謂 $\frac{af}{U}$, $\frac{aN}{U}$) 之間的大小關係來決定。參數 $\frac{U}{aN}$ 代表浮力週期 ($\frac{1}{N}$) 和平流週期, 所以流體不受浮力影響, 這種情況相當於位勢流; 反之, 當 $\frac{1}{2\pi|k|} \ll \frac{U}{aN}$, 即 $1 \ll \frac{U}{aN}$ 時, 相當於浮力週期遠大於平流週期, 所以流體不受浮力影響, 這種情況相當於位勢流; 反之當 $\frac{1}{2\pi|k|} \ll \frac{U}{af}$, 即 $1 \ll \frac{U}{af}$, 此時平流週期相對而言比較小, 所以科氏力不重要; 反之, 當 $\frac{1}{2\pi|k|} \ll \frac{U}{af}$, 此時平流週期相對而言比較大, 科氏力變得比較重要。

由上述討論得知, 若我們固定 U, N, f , 則參數 $\frac{U}{af}$, $\frac{U}{aN}$ 的大小由 a 決定, 換句話說, a 的大小決定流場的型態。另外我們可以知道 u', v' 的水平波長大約為 $2\pi \frac{U}{f}$ 見申 (1992), Eq (3.2)

, (3.3), 所以 $\frac{U}{af}$ 亦可解釋成水平波長與山的水平尺度的比值。當 $\frac{U}{af} \ll 1$, 則代表水平波遠較地形尺度小, 故通過地形時受到科氏力的影響較大 (見 Smith (1982))。

[註5]: 見 Weaver (1983), 或

Rosenfeld&Kak (1982)

由前述討論我們可以知道, 若固定 U, N, f 時, 流場型態則由地形水平尺度 (a) 所決定。上述物理量的數值結果, 茲整理如下, 並請參閱表一: 圖(1)為地形 $x-y$ 剖面的等值線, 首先看風場的分佈情形, 其分佈型態由偶流 (dipole, $a = 0.1\text{km}$, 圖(2)) 變成源流 (point source, $a = 10\text{km}$, 圖(3)) 再到渦漩流 (vortex, $a = 700\text{km}$, 圖(5)), 其當 a 由 0.1 公里擴大為 10 公里時, 風場型態改變並不大; 但 a 由 10 公里擴大至 70 公里時, 由於科氏力作用的結果, 使得山之南側 (第三、四象限) 的北風分量減小, 山後北側 (第一象限), 西風與北風分量均加強, 因此有一個負的曲率中心。隨著 a 的加大 ($a \sim 100\text{km}$), 在山後北側下游處 $x = 2.5a$ 左右, 風場擾動會有逆流現象 ($u' < 0$), 再加上北風分量, 因此形成一個新的正曲率中心 (圖(4))。若 a 再增加, 兩個正負曲率中心將逐漸向山頂靠近, 且正曲率中心漸漸消失, 只剩下負曲率中心, 但其強度漸減弱, 並且位於山頂上 (即圖(5))。至於高層 u', v' 和地面 u', v' 主要的差異在於: 當 $a = 25\text{km}$ 時, 高層的正負曲率中心之曲率半徑比地面的曲率半徑要小。

接著我們看壓力場, 當半山寬 $a = 0.1\text{km}$ 時, 流場為一位勢流, 其壓力擾動量分佈的型態為 H-L-H, L 在山頂, H 為山前、山後對稱 (圖(6))。隨著 a 的增加, 山前、山後的 H 變成不對稱,

山後的 H 比較小。當 $a = 10\text{km}$ 時, 山前有一個 H, 山後有一個 H, 山後為一個 L。若不考慮科氏力, 則 H 和 L 的強度相同; 若考慮科氏力效應時, 山後的 L 會比較小 (圖(7))。若 a 再增加, 則山後的 L 會持續的減小, 而山前的 H, 其強度持續增強, 且範圍加大。當 $a = 70\text{km}$ 時, 山後的 L 消失了, 反而變成另一個高壓中心, 但強度較小。此時擾動壓力場分佈型態變成了 H-H-H (圖(8)), 中間的 H 即是由 L 轉變而成的。若 a 再增加, 則山後 H 和山前的 H 均向山頂靠近, 最後結合成一個 H, 而且位於山頂的上方 (圖(9))。當 $f \neq 0$ 的時候, H 的極大值正比於半山寬 a, 其數量級的大小約和 afU 相當, 因此在做無因次化處理時, 可以用 afU 做為壓力擾動量的尺度。

當考慮水平剖面為橢圓的鐘形地形, 令長軸平行 y 軸, 短軸平行 x 軸, 且以地形旋轉來模擬不同的風向通過地形時的情形, 結果發現將地形旋轉 θ 角, 則流場在 $x-y$ 剖面的分佈情形亦隨地形而旋轉 θ 角 (圖(10, a, b, c, d))。

結語:

將原始方程式線性化, 並且整理化簡可得 Eq (1), (2), (3), (4), 若進一步做傅立的葉轉換, 則可以在波數空間中得到解析解, 然後藉由 FFT 去計算逆傅立葉轉換則可以得到真實空間的解。吾人可以證明當任意波模, 其垂直波長若小於密度的特徵尺度時, Eq(1), (2), (3) 為一淺水波方程式 (申 (1992))。因為討論的是線性系統, 由 Eq (6), (7), (8) 我們可以看出, 各物理擾動量是地形的線性函數, 又因為推導的過程中, 對地形並未做特別的假設, 因此用上述三式計算物理擾動量時, 吾人可以了解 $a = 0.1\text{km}, 10\text{km}, 700\text{km}$ 的結果與其它學者的結果一致, 其分別代表位勢流 (potential flow), 靜力山岳波 (hydrostatic mountain wave), 以及準地轉系統 (quasi-geostrophic system), 除數值解之外, 亦可以

得到解析解 (申 (1992))。而 $a = 100\text{km}$ 的結果則補足了線性理論在 $R0$ 接近 1 時所欠缺的部分。另外作者亦指出 Queney (1948), Buzzy& Tibaldi (1977) 所做的結果可能有誤 (申 (1992))。

參考資料

- 申博文, 1992: 三維地形對大氣的影響——線性解, 國立中央大學大氣物理研究所碩士論文, 85pp
- Buzzi, A., and S. Tibaldi, 1977: Inertial and frictional effects on rotations stratified flow over topography. Quart. J. Roy. Meteor. Soc., 103, 135-150.
- Drazin, P.G., 1961: On the steady flow of a fluid of variable density past an obstacle. Tellus, 13, 239-251.
- Eliassen, A., and Palm, E. 1960: On the transfer of energy in stationary mountain waves. Geophys. Publ. 22, 1-23.
- Lin, Y.-L., and D.-J. Perkey., 1989: Numerical modeling studies of a process of lee cyclogenesis. J. Atmos. Sci., 15, 3685-3697.
- Lin, Y.-L., 1991: Numerical modeling studies of lee mesolows, mesovortices and mesocyclones with application to the formation of Taiwan Mesolows. (un-published)
- Miles, J.W., 1969: Waves and wave drag in stratified flows. Proc. Int. Congr. Appl. Mech., 12th, 1968. Springer-Verlag, Berlin and New York.
- Phillips, D.S., 1984: Analytical surface pressure and drag for linear hydrostatic flow over three-dimensional elliptical mountains. J. Atmos. Sci., 41, 1073-1084.

Pierrehumbert, R.T., and B. Wyman, 1985: Upstream effect of mesoscale mountains. *J. Atmos. Sci.*, 42, 977-1003.

Queney, P., 1948: The problem of air flow over mountains: a summary of theoretical studies. *Bull. Amer. Meteor. Soc.*, 29, 16-26.

Rosenfeld, A., and A. C. Kak., 1982: *Digital Picture Processing*. Academic Press. 435 pp, chapter 4, p71-75.

Sheppard, P. a., 1956: Airflow over mountains. *Q. J. R. Meteorol. Soc.*, 82, 528.

Sawyer, J. s., 1960: Numerical calculation of the displacements of a stratified airstream crossing a ridge of small height. *Q. J. R. Meteorol. Soc.*, 86, 31-43.

Smith, R. B., 1979: The influence of mountain on the atmosphere. *Advances in Geophysics*, vol. 21, Academic Press, 87-230.

Smith, R. B., 1980: Linear theory of stratified hydrostatic flow past an isolated mountain. *Tellus*, 32, 348-364.

Smith, R. B., 1982: Synoptic observations and theory of orographically disturbed wind and pressure. *J. Atmos. Sci.*, 39, 60-70.

Smith, R. B., 1984: A theory of lee cyclogenesis. *J. Atmos. Sci.*, 41, 1159-1168.

Smith, R. B., 1989: Comment on "Low froude number flow past three-dimensional obstacles. part I: baroclinically generated lee vortices". *J. Atmos. Sci.*, 46, 3611-3613.

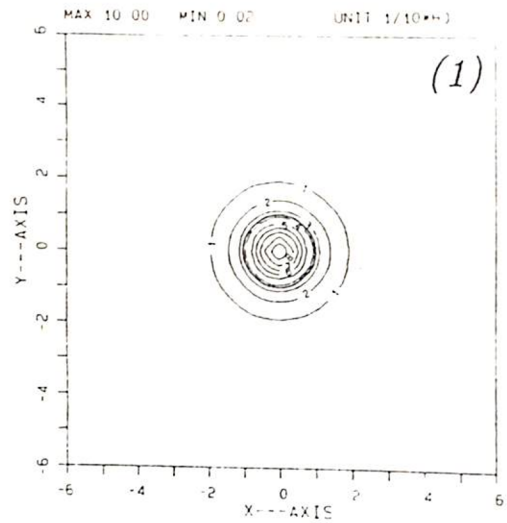
Smolarkiewicz, P. K., and R. Rotunno, 1989: low froude number flow past three dimensional obstacles. part I: baroclinically generated lee vortices. *J. Atmos. Sci.*, 46, 1145-1164.

Thorsteinsson, S., 1988: Finite amplitude stratified airflow past isolated mountain on an f-plane. *Tellus*, 40A, 220-236.

Weaver, H. J., 1983: *Applications of Discrete and Continuous Fourier Analysis*. Wiley-Interscience. 375pp.

誌謝：

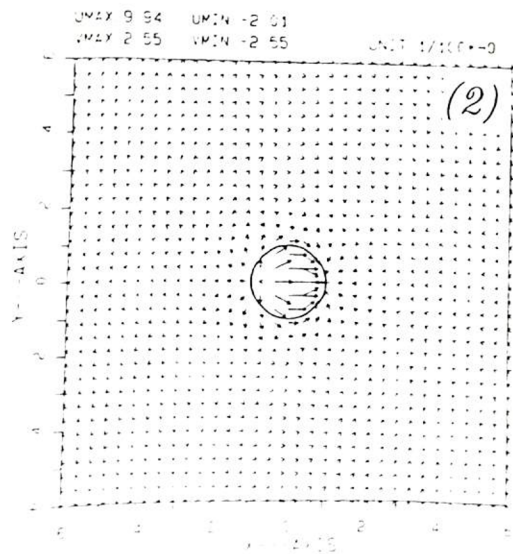
本文得以順利完成，首先感謝指導教授洪秀雄先生的悉心指導，母校中央大學大氣物理研究所及空軍氣象中心的軟、硬體的支援，亦一併感謝。



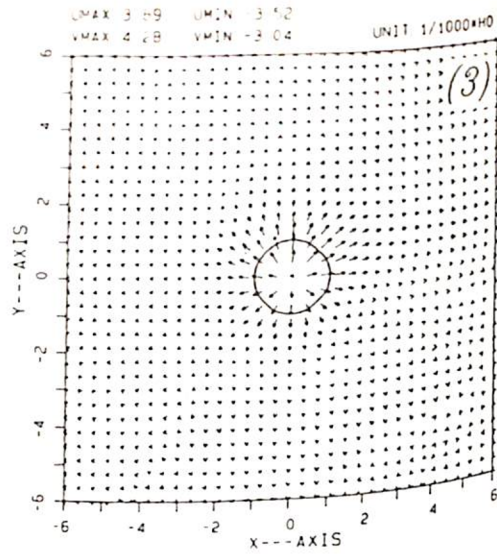
圖(1): 地形等值線

$U = 10\text{m/s}, N = 10-4s-1H0 \equiv h0$ 代表山頂高度。x, y 軸的單位為地形水平尺度, a, 粗圓實線為 $r = \sqrt{2x^2 + y^2} = a$ 的地形等值線, 令 u', v', p' 分別代表水平風場擾動量、壓力場擾動量、壓力場擾動量、 $UMAX, UMIN, VMAX, VMIN$ 分別為 U', V' 的極大值, 極小值。

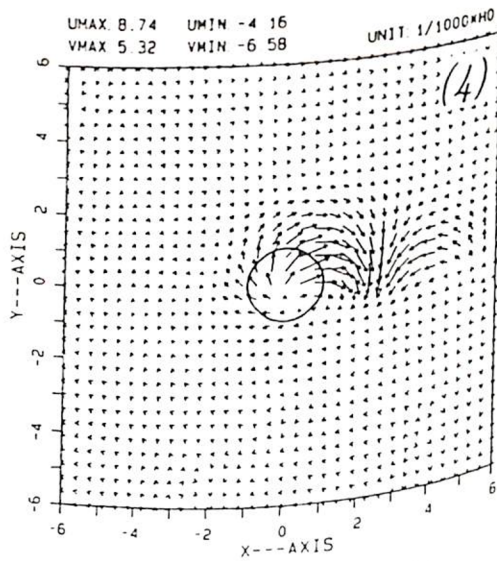
風場擾動量



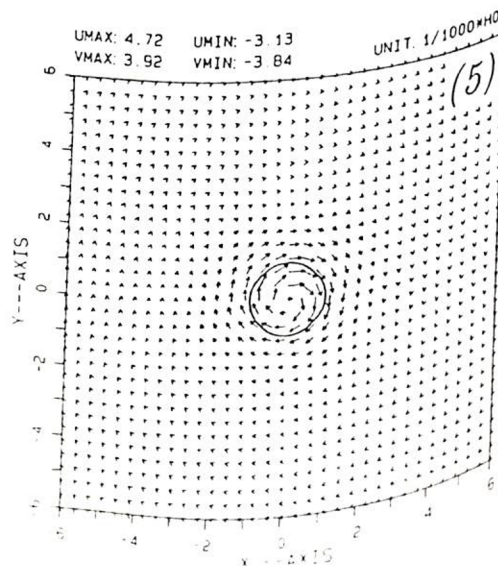
圖(2): U', V' , 當 $a = 0.1\text{km}$.



圖(3): U', V' , 當 $a = 10\text{km}$.

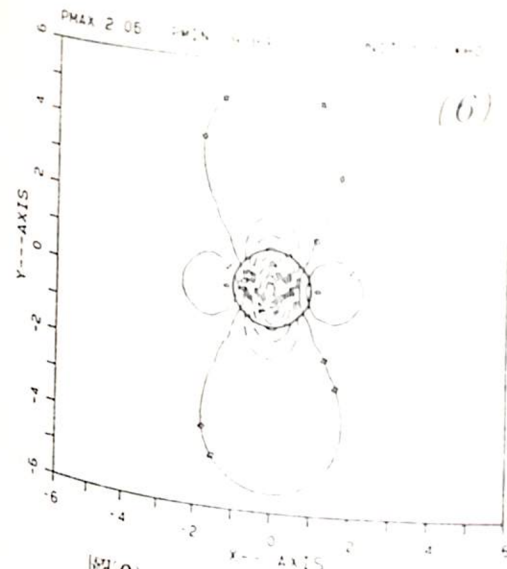


圖(4): U', V' , 當 $a = 100\text{km}$.

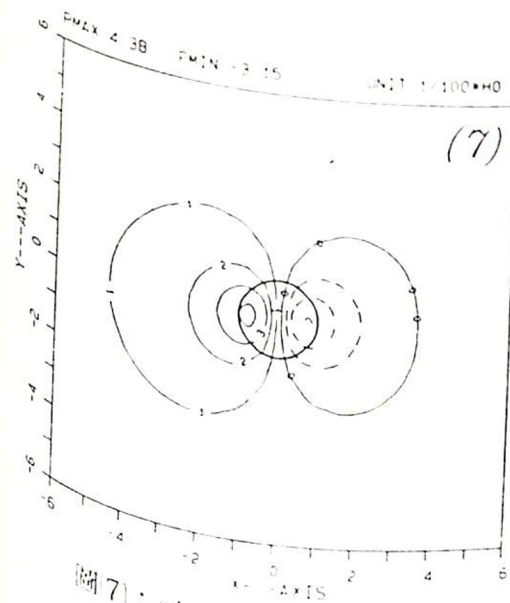


圖(5): U', V' , 當 $a = 700\text{km}$.

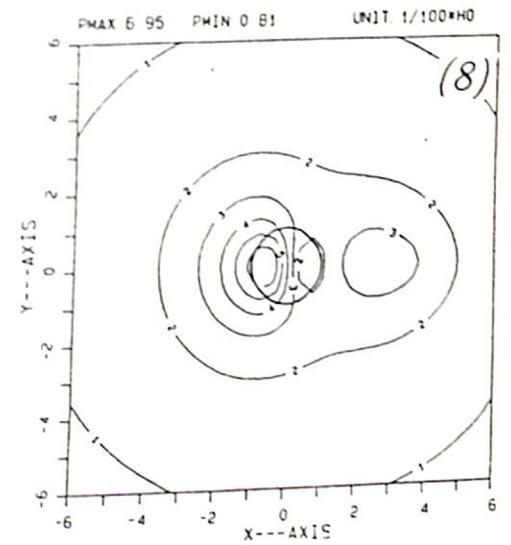
壓力場擾動



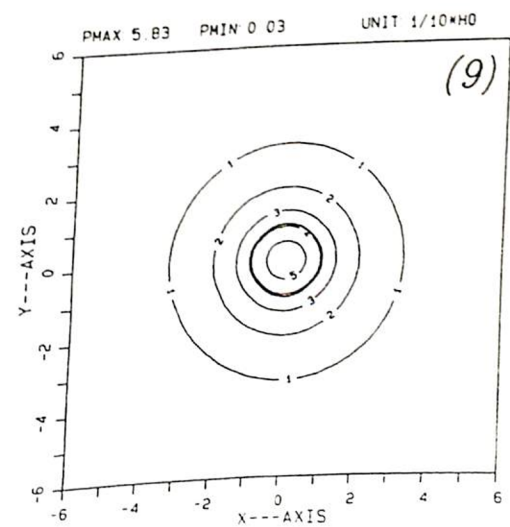
圖(6): p' , 當 $a = 0.1\text{km}$.



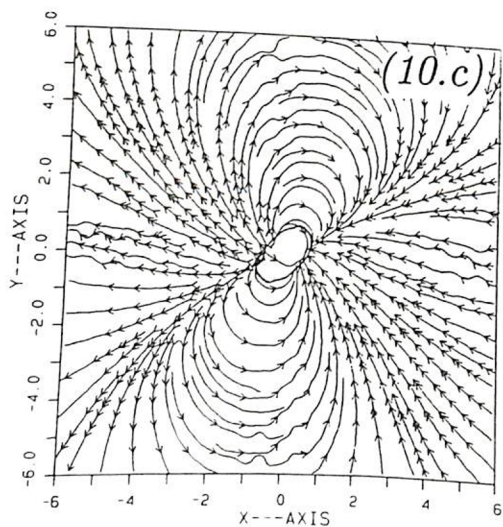
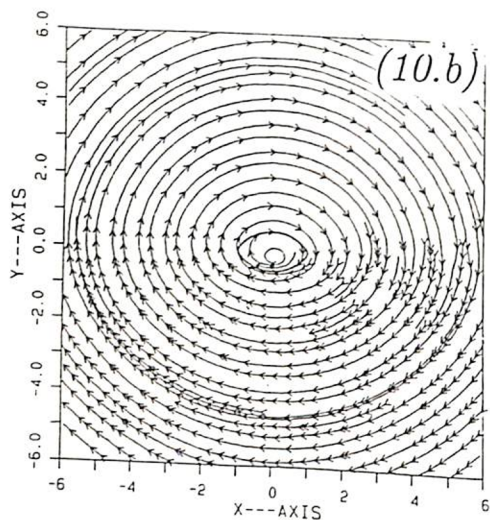
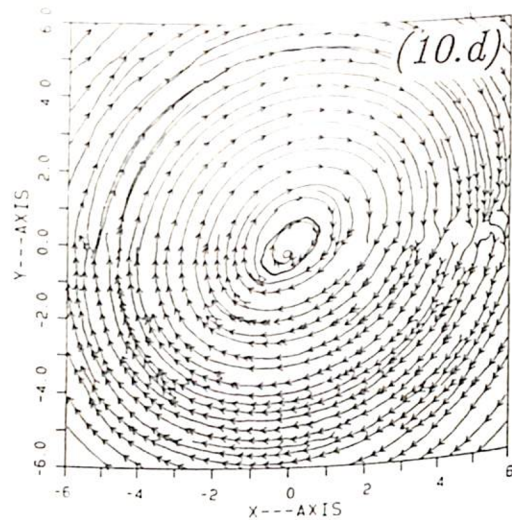
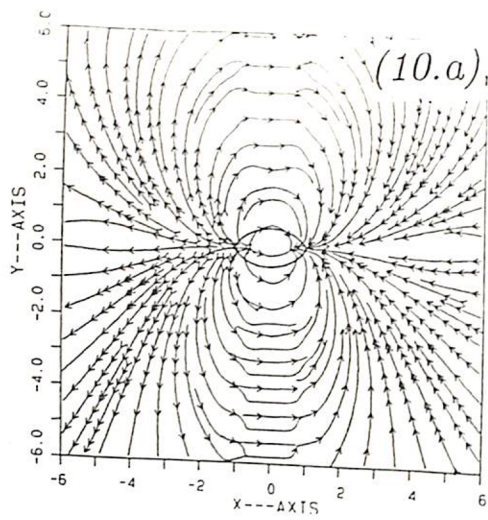
圖(7): p' , 當 $a = 10\text{km}$.



圖(8): p' , 當 $a = 70\text{km}$.



圖(9): p' , 當 $a = 700\text{km}$.



圖(10)：橢圓地形不同旋轉角度的流場分佈，
長短軸比為2:1， θ 為長軸與y軸的夾角，順時鐘
為正。

(a) : $a = 0.1\text{km}$, $\theta = 90^\circ$.

(b) : $a = 700\text{km}$, $\theta = 90^\circ$.

(c) : $a = 0.1\text{km}$, $\theta = 45^\circ$.

(d) : $a = 700\text{km}$, $\theta = 45^\circ$.